

侍

MD Nose



Dinamica Molecular a Temperatura cte.

Si estamos a temperatura T la distribucion de velocidades esta dada por la distribucion de Maxwell Boltzmann

$$P(p) = \left(\frac{\beta}{2\pi m} \right)^{3/2} \exp \left[\frac{-\beta p^2}{2m} \right]$$

Se satisface tambien

$$kT = m\langle v_\alpha^2 \rangle$$

donde v_α es una componente de la velocidad

En que sistema estamos calculando este valor medio?

De aqui, sigue que para calcular las fluctaciones de la Temperatura es suficiente calcular las fluctuaciones de energia cinetica.

notamos que

$$\langle p^2 \rangle = \int dp p^2 P(p) = \frac{3m}{\beta}$$
$$\Rightarrow T_k = \frac{1}{2m} \langle p^2 \rangle = \frac{1}{2m} 3m kT = \frac{3}{2} kT$$

del mismo modo

$$\langle p^4 \rangle = \int dp p^4 P(p) = 15 \left(\frac{m}{\beta} \right)^2$$

de donde

$$\frac{\sigma_p^2}{\langle p^2 \rangle^2} = \frac{\langle p^4 \rangle - \langle p^2 \rangle^2}{\langle p^2 \rangle^2} = \frac{15 \left(\frac{m}{\beta} \right)^2 - 9 \left(\frac{m}{\beta} \right)^2}{9 \left(\frac{m}{\beta} \right)^2} = \frac{2}{3}$$


de donde

La energía cinética es tal que $T_k = \frac{1}{2m} \langle p^2 \rangle = \frac{1}{2m} 3mkT = \frac{3}{2} \frac{1}{\beta}$

$$T_k = \frac{1}{2m} \langle p^2 \rangle = \frac{3}{2} kT$$

$$\frac{\sigma_p^2}{\langle T_k \rangle_{NVT}^2} = \frac{\langle T_k^2 \rangle - \langle T_k \rangle^2}{\langle T_k \rangle^2}$$

$$\langle T_k \rangle^2 = \frac{1}{m^2} N^2 \langle p^2 \rangle^2$$


$$\langle T_k^2 \rangle = \langle T_k T_k \rangle = \langle [\sum p_i^2][\sum p_k^2] \rangle = N \langle p^4 \rangle + N(N-1) \langle p^2 \rangle \langle p^2 \rangle$$

entonces

$$\frac{\sigma_p^2}{\langle T_k \rangle_{NVT}^2} = \frac{N\langle p^4 \rangle + N(N-1)\langle p^2 \rangle \langle p^2 \rangle - N^2 \langle p^2 \rangle^2}{N^2 \langle p^2 \rangle^2}$$
$$= \frac{1}{N} \frac{\langle p^4 \rangle - \langle p^2 \rangle^2}{\langle p^2 \rangle^2} = \frac{2}{3N}$$

Luego, solo si $N \rightarrow \infty$ las fluctuaciones se van 0

Berendsen

Sea la ecuacion de Langevin (para cada i del sistema)

$$m \dot{v} = F - m\gamma v + R(t)$$

Donde γ es un termino de friccion y R es una fuerza estocastica

$$\langle R_i(t)R_j(t + \tau) \rangle = 2m_i\gamma_i kT_0 \delta(\tau) \delta_{ij}$$

Como se comporta la Temperatura ante este acoplamiento

A partir de la energia cinetica (con $m_i = m$)

$$\frac{dE_k}{dt} = \lim_{\Delta t \rightarrow 0} \left\{ \left[\sum \frac{1}{2} m v_i^2(t + \Delta t) - \sum \frac{1}{2} m v_i^2(t) \right] / \Delta t \right\}$$

Con

$$\Delta v = v(t + \Delta t) - v(t)$$

$$= \frac{1}{m} \int_t^{t+\Delta t} [F(t') - m\gamma v(t') + R(t')] dt$$

Como $R_i(t')$ esta descorrelacionada con $v_i(t)$ y $R_i(t)$, para $t' > t$

$$\sum \int_t^{t+\Delta t} dt' \int_t^{t+\Delta t} dt'' R_i(t') R_j(t'') = 6N\gamma kT_0 \Delta t$$

de donde

$$\frac{dE_k}{dt} = \sum v_i F_i + 2\gamma \left(\frac{3N}{2} kT_0 - E_k \right)$$

el segundo termino se puede escribir como

$$\left(\frac{dT}{dt} \right)_{\text{baño}} = 2\gamma (T_0 - T)$$

De esta forma es suficiente considerar

$$m \dot{v}_i = F_i + m\gamma \left(\frac{T_0}{T} - 1 \right) v_i$$

pues de aqui se obtiene

$$\frac{dE_k}{dt} = \sum v_i F_i + 3N\gamma k(T_0 - T)$$

Como debe ser

Las ecuaciones de movimiento resultantes corresponden a una escala de las velocidades en cada paso de la evolucion de v a λv

con

$$\lambda = 1 + \frac{\Delta t}{2\tau_T} \left(\frac{T_0}{T} - 1 \right)$$

Pero no se ha encontrado a que ensemble corresponde la evolucion correspondiente

Andersen

Supongamos que tenemos nuestro sistema descrito por un Hamiltoniano dado

$$H = \sum \frac{p_i^2}{2m} + \sum_i \sum_{j>i} v_{ij}$$

La evolución ocurre sobre el hiperplano caracterizado por E

a) se considera que existe un sistema "fantasma"

b) el sistema de interes sobrelleva colisiones con particulas del sistema "fantasma"

instantaneas,

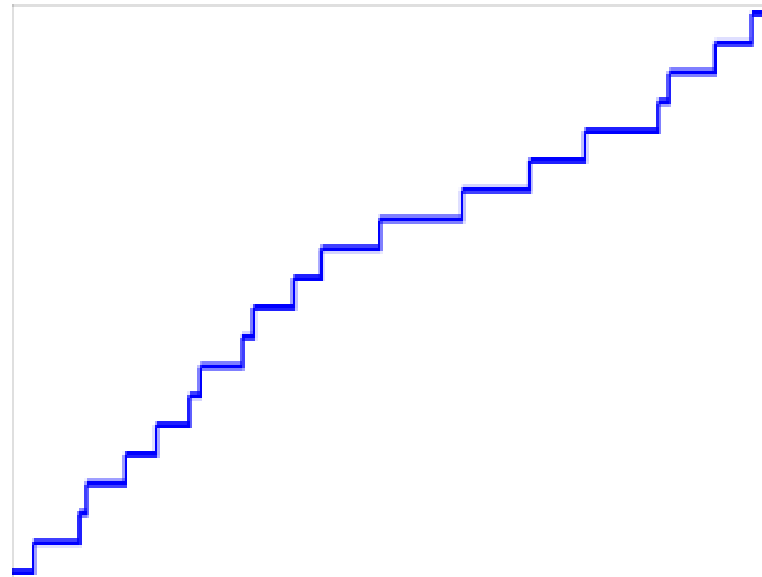
no correlacionadas

de acuerdo con un proceso de Poisson

Entre colision y colision el sistema evoluciona segun las ecuaciones de Hamilton o sea se mueve en "su" hiperplano

la probabilidad de que el intervalo entre dos eventos sea t es

$$P(t) = \lambda \cdot \exp(-\lambda t)$$



Proceso segun Andersen

a) elegimos los tiempos a los cuales se produzcan las colisiones
($t_1, t_2, \dots, t_i, \dots, t_j, \dots$)

b) Entre t_i y t_{i+1} el sistema evoluciona Hamiltonianamente

c) Se eligen condiciones iniciales arbitrarias

c) A t_{i+1} se produce la colision, entonces

Se elige una particula al azar

El nuevo momento de la particula se sorteaa de una MB a temperatura T (direccion aleatoria)

O sea:

$$\bar{F} = F_{NVT}(N, V, T)$$

Recordemos que En el caso de cadenas de Markov , si las probabilidades de transicion son tales que

son estacionarias

son aperiodicas

irreducibles

tendran una distribucion asintotica estacionaria

Resulta que la distribucion que es invariante para este caso es

$$\frac{1}{N!} \frac{\exp(-H\beta)}{Q(N, V, T)}$$

Nose-Hoover

Bibliografía

W.G.Hoover *Phys.Rev.A* **31** (1985) 1695 , *Phys.Rev.A* **34** (1986)
2499

recordemos algunas propiedades de la δ

$$\int_{-\infty}^{\infty} \delta(ax) dx = \int_{-\infty}^{\infty} \delta(u) du \frac{1}{|a|} = \frac{1}{|a|}$$

Scaling property \Rightarrow

$$\delta(ax) = \frac{\delta(x)}{|a|}$$

recordemos algunas propiedades de la δ

$$\int_{-\infty}^{\infty} \delta(ax) dx = \int_{-\infty}^{\infty} \delta(u) du \frac{1}{|a|} = \frac{1}{|a|}$$

Scaling property \Rightarrow

$$\delta(ax) = \frac{\delta(x)}{|a|}$$

Que se puede generalizar a

$$\delta(g(x)) = \sum \frac{\delta(x - x_i)}{|g'(x_i)|}$$

Donde x_i son las raíces reales de $g(x)$

Por ejemplo

$$\delta(x^2 - \alpha^2) = \frac{1}{2|\alpha|} [\delta(x + \alpha) + \delta(x - \alpha)]$$

Ademas

$$\int_{-\infty}^{\infty} f(x) \delta(g(x)) dx = \sum \frac{f(x_i)}{|g'(x_i)|}$$

Sea un Lagrangiano

$$L = T - V.$$

$$L(\vec{x}, \dot{\vec{x}}) = \frac{1}{2} m \dot{\vec{x}}^2 - V(\vec{x}).$$

$$\frac{d}{dt} \left(\frac{\partial L}{\partial \dot{x}_i} \right) - \frac{\partial L}{\partial x_i} = 0$$

$$\frac{\partial L}{\partial x_i} = - \frac{\partial V}{\partial x_i}$$

$$\frac{\partial L}{\partial \dot{x}_i} = \frac{\partial}{\partial \dot{x}_i} \left(\frac{1}{2} m \dot{\vec{x}}^2 \right) = \frac{1}{2} m \frac{\partial}{\partial \dot{x}_i} (\dot{x}_i \dot{x}_i) = m \dot{x}_i$$

$$\frac{d}{dt} \left(\frac{\partial L}{\partial \dot{x}_i} \right) = m \ddot{x}_i$$

$$m \ddot{\vec{x}} + \nabla V = 0$$

$$p_i(x_i, \dot{x}_i, t) = \frac{\partial L}{\partial \dot{x}_i}$$

$$H = \sum_i \dot{q}_i \frac{\partial L}{\partial \dot{q}_i} - L = \sum_i \dot{q}_i p_i - L$$

$$L = T - V = \frac{1}{2} m \dot{\vec{x}}^2 - V(\vec{x})$$

$$p_i(x_i, \dot{x}_i, t) = m \dot{x} \quad \Rightarrow \quad \dot{x} = \frac{p_i(x_i, \dot{x}_i, t)}{m}$$

Sea el siguiente Lagrangiano

$$L_{nose} = \sum \frac{m_i}{2} s^2 \dot{r}_i^2 - V(r^N) - \frac{Q}{2} \dot{s}^2 - \frac{g}{\beta} \ln s$$

Q es una masa efectiva asociada a s

Esto da lugar a las siguientes ecuaciones:

$$p_i = \frac{\partial L}{\partial \dot{r}_i} = m_i s^2 \dot{r}_i$$

$$p_s = \frac{\partial L}{\partial \dot{s}} = Q \dot{s}$$

y al siguiente Hamiltoniano:

$$H_{Nose} = \sum \frac{p_i^2}{2m_i s^2} + V(r^N) + \frac{p_s^2}{2Q} + \frac{g}{\beta} \ln s$$

Sea

$$p' = p/s$$

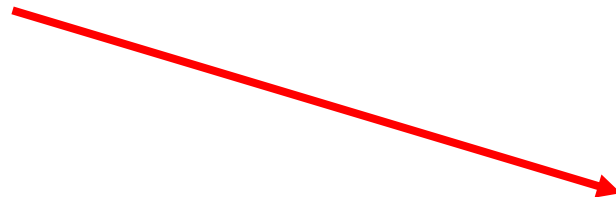
y

$$H' = \sum \frac{p_i'^2}{2m_i} + V(r)$$

$$H_{\text{Nose}} = H' + \frac{p_s^2}{2Q} + \frac{g}{\beta} \ln s$$

Este es un Hamiltoniano genuino

El Microcanonico asociado es



$$\Gamma_{nose} = \frac{1}{N!} \int dp_s ds dp^{3N} dr^{3N} [\delta(E - H_{Nose})]$$

$$= \frac{1}{N!} \int dp_s ds dp^{3N} dr^{3N} \cdot s^{3N} \cdot \left[\delta \left(H' + \frac{p_s^2}{2Q} + \frac{g}{\beta} \ln s - E \right) \right]$$

Que puede ser reescrita como

$$\Gamma_{nose} = \frac{1}{N!} \int dp_s ds dp^{3N} dr^{3N} \cdot s^{3N} \cdot \left[\delta \left(\frac{g}{\beta} \ln s - (E - H' - \frac{p_s^2}{2Q}) \right) \right]$$

Pero entonces usando la relacion de la δ
obtenemos

$$\Gamma_{nose} = \frac{1}{N!} \int dp_s ds dp^{3N} dr^{3N} \cdot s^{3N} \cdot \left[\delta \left(\frac{g}{\beta} \ln s - \left(E - H' - \frac{p_s^2}{2Q} \right) \right) \right]$$

Sea

$$\ln s_0 = \frac{\beta}{g} \left[E - \left(H' + \frac{p_s^2}{2Q} \right) \right]$$

de donde

$$s_0 = \exp \left\{ \frac{\beta}{g} \left[E - \left(H' + \frac{p_s^2}{2Q} \right) \right] \right\}$$

Entonces aparece

$$\delta(h(s)) = \frac{\delta(s - s_0)}{h'(s)}$$

$$\Gamma_{nose} = \frac{1}{N!} \int dp_s ds dp^{3N} dr^{3N} \cdot s^{3N} \cdot \left[\delta \left(\frac{g}{\beta} \ln s - \left(E - H' - \frac{p_s^2}{2Q} \right) \right) \right]$$

$$\ln s_0 = \frac{\beta}{g} \left[E - \left(H' + \frac{p_s^2}{2Q} \right) \right]$$

$$\left[\delta \left(\frac{g}{b} \ln s - \frac{g}{b} \ln s_0 \right) \right]$$

$$\delta(h(s)) = \frac{\delta(s - s_0)}{h'(s)}$$

$$h'(s) = \frac{g}{\beta s}$$

$$\delta(h(s)) = \frac{\beta}{g} \frac{1}{s} \delta(s - s_0)$$

resulta (aquí usamos Q pero en realidad es el Γ de Nose)

$$Q_{Nose} = \frac{1}{N!} \int dp_s ds dp^{3N} dr^{3N} \cdot s^{3N+1} \cdot \frac{\beta}{g} \cdot$$
$$\cdot \delta \left\{ s - \exp \left[\frac{\beta}{g} \left[E - \left(H' + \frac{p_s^2}{2Q} \right) \right] \right] \right\}$$

s_0

de donde

$$Q_{Nose} = \frac{1}{N!} \frac{\beta}{g} \exp[E(3N+1)/g] \left\{ \int dp_s \exp \left[-\beta \frac{3N+1}{g} \frac{p_s^2}{2Q} \right] \right\} \cdot \left\{ \int dp'^{3N} dr^{3N} \exp \left[\beta \frac{3N+1}{g} H'(p', r) \right] \right\}$$

de donde

$$Q_{Nose} = C \frac{1}{N!} \int dp^{3N} dr^{3N} \cdot \exp \left[-\frac{\beta(3N+1)}{g} H' \right]$$

Si tomamos $g = 3N + 1$

Obtenemos el canonico genuino!!!!!!

$$Q_{Nose} = C \frac{1}{N!} \int dp^{3N} dr^{3N} \cdot \exp[-\beta H']$$

Calculando valores medios

$$\bar{A} = \lim_{\tau \rightarrow \infty} \frac{1}{\tau} \int_0^\tau dt A[p(t)/s(t), r(t)] = \langle A(p/s, r) \rangle_{Nose}$$

$$\langle A(p/s, r) \rangle_{Nose} = \frac{\int dp^N dr^N A(p, r) \exp[-\beta H(p, r)(3N + 1)/g]}{\int dp^N dr^N \exp[-\beta H(p, r)(3N + 1)/g]}$$

Hacemos la eleccion $g = 3N + 1$

$$\begin{aligned}
\langle A(p/s, r) \rangle_{Nose} &= \frac{\int dp^N dr^N A(p, r) \exp[-\beta H(p, r)]}{\int dp^N dr^N \exp[-\beta H(p, r)]} = \\
&= \frac{\int dp^N dr^N A(p, r) \exp[-\beta H(p, r)]}{Q(N, V, T)} \\
&= \langle A(p/s, r) \rangle_{NVT}
\end{aligned}$$

Entonces

$$\langle A(p/s, r) \rangle_{Nose} = \langle A(p/s, r) \rangle_{NVT}$$

$$\begin{aligned}
\langle A(p/s, r) \rangle_{Nose} &= \frac{\int dp'^N dr^N A(p', r) \exp[-\beta H(p', r)]}{\int dp'^N dr^N \exp[-\beta H(p', r)]} = \\
&= \frac{\int dp'^N dr^N A(p', r) \exp[-\beta H(p', r)]}{Q(N, V, T)} \\
&= \langle A(p/s, r) \rangle_{NVT}
\end{aligned}$$

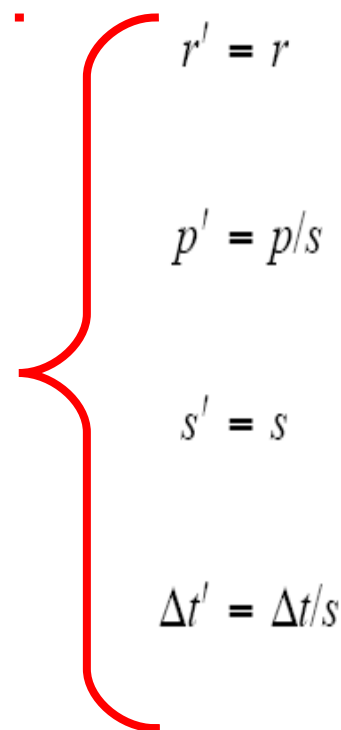
En este caso el espacio de fases esta asociado a las coordenadas r y a los momentos escaleados p' . A estos momentos se los llaman reales.

Que cosa es que?

Sea p' el "momento real"

Sea p el "momento virtual"

Estan relacionadas por


$$\left. \begin{aligned} r' &= r \\ p' &= p/s \\ s' &= s \\ \Delta t' &= \Delta t/s \end{aligned} \right\}$$

Luego s es un escaleo del tiempo y por lo tanto el tiempo fluctua durante la simulacion.

Luego al samplear

$$\bar{A} = \lim_{\tau \rightarrow \infty} \frac{1}{\tau} \int_0^\tau dt A[p(t)/s(t), r(t)] = \langle A(p/s, r) \rangle_{Nose}$$

Lo hacemos a pasos (virtuales) Δt correspondera a pasos fluctuantes al **escalear** por s

Para samplear a intervalos constantes en el tiempo real:

Sea

$$\tau' = \int_0^{\tau} dt \frac{1}{s(t)}$$

Calculamos

$$\lim_{\tau' \rightarrow \infty} \frac{1}{\tau'} \int_0^{\tau'} dt' A \left[\frac{p(t')}{s(t')}, r(t') \right] =$$

$$= \lim_{\tau' \rightarrow \infty} \frac{\tau}{\tau'} \frac{1}{\tau} \int_0^{\tau} dt A \left[\frac{p(t)}{s(t)}, r(t) \right] \frac{1}{s(t)}$$

$$= \frac{\lim_{\tau' \rightarrow \infty} \frac{1}{\tau} \int_0^{\tau} dt A \left[\frac{p(t)}{s(t)}, r(t) \right] \frac{1}{s(t)}}{\lim_{\tau' \rightarrow \infty} \frac{1}{\tau'} \int_0^{\tau} dt \frac{1}{s(t)}}$$

$$\lim_{\tau' \rightarrow \infty} \frac{1}{\tau'} \int_0^{\tau} dt \frac{1}{s(t)}$$

$$= \left\langle \int A \left[\frac{p(t)}{s(t)}, r(t) \right] \frac{1}{s(t)} \right\rangle \frac{1}{\langle s(t) \rangle}$$

Entonces

$$Q_{\text{Nose}} = C \frac{1}{N!} \int dp^{3N} dr^{3N} \cdot \exp\left[-\frac{\beta(3N+1)}{g} H'\right]$$

$$= \left\langle \int A \frac{p(t)}{s(t)}, r(t) \frac{1}{s(t)} \right\rangle \frac{1}{\langle s(t) \rangle} =$$

$$= \frac{\left\{ \int dp'^N dr^N A(p/s, r) \exp[-\beta H(p', r) 3N/g] \right\}}{\left\{ \int dp'^N dr^N \exp[-\beta H(p', r) 3(N+1)/g] \right\}} =$$

$$\frac{\left\{ \int dp'^N dr^N \exp[-\beta H(p', r) 3N/g] \right\}}{\left\{ \int dp'^N dr^N \exp[-\beta H(p', r) 3(N+1)/g] \right\}}$$

$$\dot{\imath} \frac{\int dp'^N dr^N A(p/s, r) \exp[-\beta H(p', r) 3N/g]}{\int dp'^N dr^N \exp[-\beta H(p', r) 3N/g]} =$$

$$\dot{\imath} \langle A(p/s, r) \rangle_{NVT}$$

$$g = 3N$$

Las ecuaciones de movimiento son (usando $H_{Nose} = \sum \frac{p_i^2}{2m_i s^2} + V(r^N) + \frac{p_s^2}{2Q} + \frac{g}{\beta} \ln s$)

(para las variables virtuales)

$$\frac{dr_i}{dt} = \frac{p_i}{(m_i s)}$$

$$\frac{dp_i}{dt} = -\frac{\partial V(r)}{\partial r_i}$$

$$\frac{ds}{dt} = \frac{p_s}{Q}$$

$$\frac{dp_s}{dt} = \left[\sum p_i^2 / (m_i s^2) - g / \beta \right] / s$$

$$\left[\frac{d\vec{r}_i}{dt} = \frac{\partial H_{Nose}}{\partial \vec{p}_i} \right]$$

Para las variables reales

$$\frac{dr'_i}{dt} = \frac{p_i}{(m_i s)} = \frac{p'_i}{m_i}$$

$$\frac{dp'_i}{dt} = -\frac{\partial V(r')}{\partial r'_i} - \left[\frac{s' p'_s}{Q} \right] p'_i$$

$$\frac{1}{s} \frac{ds'}{dt} = \frac{s' p'_s}{Q}$$

$$\frac{d(s' p'_s / Q)}{dt} = \left[\sum p_i'^2 / m_i - g / \beta \right] / Q$$

Implementacion

Lo mas conveniente es trabajar con variables reales pues entonces los intervalos de tiempo son ctes.

Segun Hoover

W.G. Hoover. Canonical dynamics: Equilibrium phase-space distributions. *Phys. Rev. A*, 31:1695–1697, 1985.

W.G. Hoover. Constant pressure equations of motion. *Phys. Rev. A*, 34:2499–2500, 1986.

$$\text{Sea } s'p'_s/Q = \xi$$

Dejando de lado las primas

$$\frac{dr_i}{dt} = \frac{p_i}{m_i}$$

$$\frac{dp_i}{dt} = -\frac{\partial V(r)}{\partial r_i} - \xi_i p_i$$

$$\frac{d\xi}{dt} = \left[\sum p_i^2/m_i - g/\beta \right]/Q$$

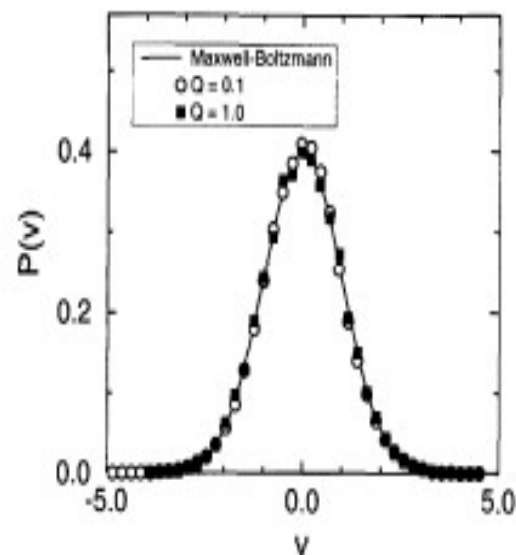


Figure 6.4: Velocity distribution in a Lennard-Jones fluid ($T = 1.0$, $\rho = 0.75$, and $N = 256$). The solid line is the Maxwell-Boltzmann distribution (6.1.1) the symbols were obtained in a simulation using the Nosé-Hoover thermostat.

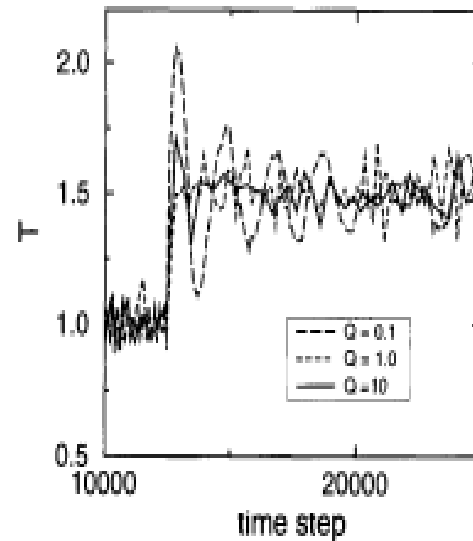


Figure 6.5: Response of the system to a sudden increase of the imposed temperature. The various lines show the actual temperature of the system (a Lennard-Jones fluid $\rho = 0.75$, and $N = 256$) as a function of the number of time steps for various values of the Nosé-Hoover coupling constant Q .

Atencion

Estas ecuaciones no funcionan por ejemplo para el oscilar armonico pues no son "lo suficientemente caoticas"

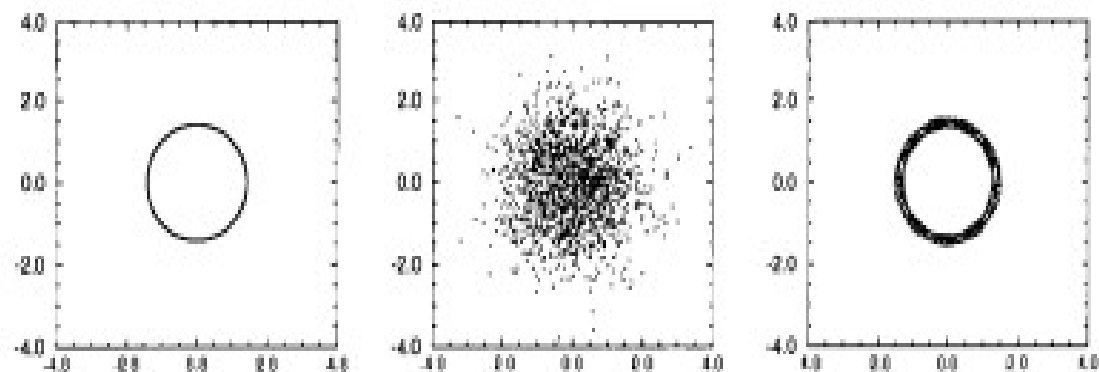


Figure 6.7: Trajectories of the harmonic oscillator: (from left to right) in the microcanonical ensemble, using the Andersen method, and using the Nosé-Hoover method. The y axis is the velocity and the x axis is the position.

To alleviate the restriction for the Nosé-Hoover thermostat, Martyna *et al.* [136] proposed a scheme in which the Nosé-Hoover thermostat is coupled to another thermostat or, if necessary, to a whole chain of thermostats. As we show in Appendix B.2.2 these chains take into account additional conservation laws. In [136] it is shown that this generalization of the original Nosé-Hoover method still generates a canonical distribution (provided that it is ergodic).

The equations of motion for a system of N particles coupled with M Nosé-Hoover chains are given (in real variables, hence $L = 3N$) by

$$\dot{\mathbf{r}}_i = \frac{\mathbf{p}_i}{m_i} \quad (6.1.29)$$

$$\dot{\mathbf{p}}_i = \mathbf{F}_i - \frac{p_{\xi_1}}{Q_1} \mathbf{p}_i \quad (6.1.30)$$

$$\dot{\xi}_k = \frac{p_{\xi_k}}{Q_k} \quad k = 1, \dots, M \quad (6.1.31)$$

$$\dot{p}_{\xi_1} = \left(\sum_i \frac{p_i^2}{m_i} - Lk_B T \right) - \frac{p_{\xi_2}}{Q_2} p_{\xi_1} \quad (6.1.32)$$

$$\dot{p}_{\xi_k} = \left[\frac{p_{\xi_{k-1}}^2}{Q_{k-1}} - k_B T \right] - \frac{p_{\xi_{k+1}}}{Q_{k+1}} p_{\xi_k} \quad (6.1.33)$$

$$\dot{p}_{\xi_M} = \left[\frac{p_{\xi_{M-1}}^2}{Q_{M-1}} - k_B T \right]. \quad (6.1.34)$$

For these equations of motion the conserved energy is

$$H_{\text{NHC}} = \mathcal{H}(\mathbf{r}, \mathbf{p}) + \sum_{k=1}^M \frac{p_{\xi_k}^2}{2Q_k} + Lk_B T \xi_1 + \sum_{k=2}^M k_B T \xi_k. \quad (6.1.35)$$

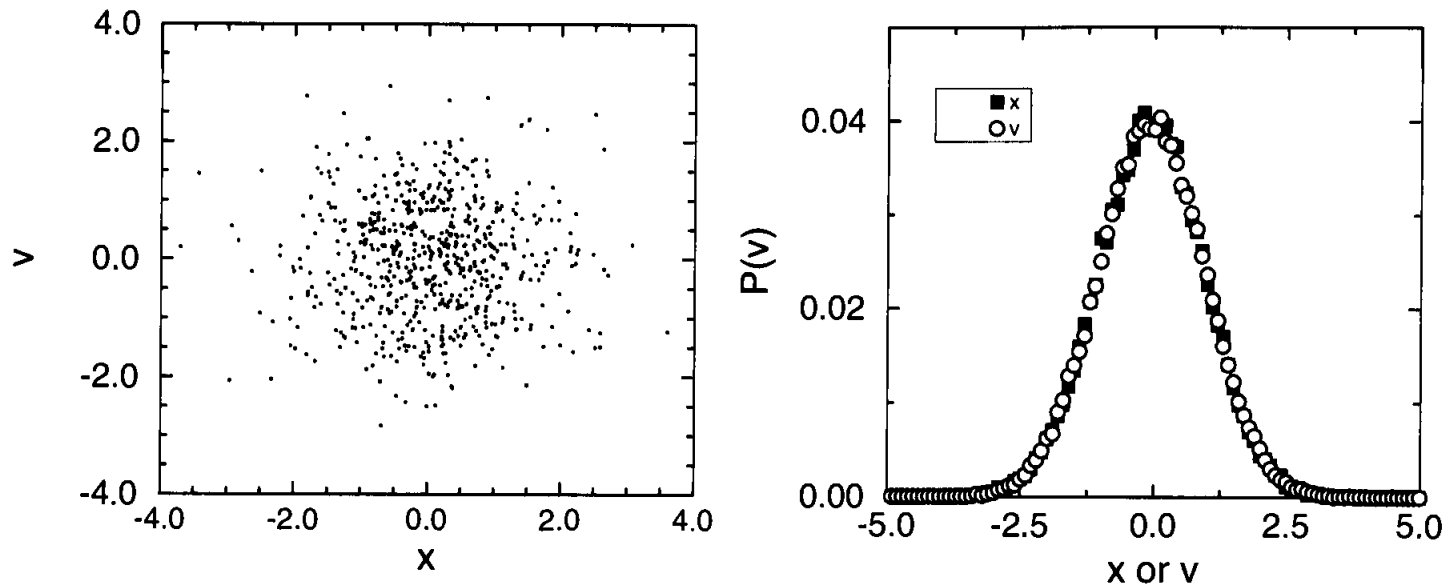


Figure 6.8: Test of the phase space trajectory of a harmonic oscillator, coupled to a Nosé-Hoover chain thermostat. The left-hand side of the figure shows part of a trajectory: the dots correspond to consecutive points separated by 10,000 time steps. The right-hand side shows the distributions of velocity and position. Due to our choice of units, both distributions should be Gaussians of equal width.



Available online at www.sciencedirect.com

SCIENCE @ DIRECT®

Physica A 354 (2005) 606–618

PHYSICA A

www.elsevier.com/locate/physa

Microscopic dynamics of pedestrian evacuation

D.R. Parisi*, C.O. Dorso

*Departamento de Física-Facultad de Ciencias Exactas y Naturales, Universidad de Buenos Aires,
Pabellón 1 Ciudad Universitaria, 1428 Buenos Aires, Argentina*

Received 5 January 2005

Available online 1 April 2005

THE ROLE OF PANIC IN THE ROOM EVACUATION PROCESS

DANIEL R. PARISI* and CLAUDIO O. DORSO†

*Departamento de Física-Facultad de Ciencias Exactas y Naturales
Universidad de Buenos Aires, Pabellón 1 Ciudad Universitaria
1428 Buenos Aires, Argentina*

**dparisi@df.uba.ar*

†codorso@df.uba.ar

Morphological and dynamical aspects of the room evacuation process

D.R. Parisi^{a,*}, C.O. Dorso^b

^a*Urbix Technologies Research Division, Centro de Incubación FADU, Subsuelo Pabellón 3, Ciudad Universitaria,
1428 Buenos Aires, Argentina*

^b*Departamento de Física-Facultad de Ciencias Exactas y Naturales, Universidad de Buenos Aires, Pabellón 1 Ciudad Universitaria,
1428 Buenos Aires, Argentina*

Received 5 October 2006; received in revised form 19 June 2007
Available online 3 July 2007



Contents lists available at ScienceDirect

Physica A

journal homepage: www.elsevier.com/locate/physa



Room evacuation in the presence of an obstacle

G.A. Frank, C.O. Dorso*

Departamento de Física, Facultad de Ciencias Exactas y Naturales, Universidad de Buenos Aires, Pabellón I, Ciudad Universitaria, 1428 Buenos Aires, Argentina

EVACUATION UNDER LIMITED VISIBILITY

GUILLERMO A. FRANK

*Departamento de Física, Facultad de Ciencias Exactas y Naturales, Universidad de Buenos Aires.**

frank@ieec.org

CLAUDIO O. DORSO

Departamento de Física, Facultad de Ciencias Exactas y Naturales, Universidad de Buenos Aires.

codorso@df.uba.ar



Available online at www.sciencedirect.com

SCIENCE @ DIRECT®

Physica A 358 (2005) 593–604

PHYSICA A

www.elsevier.com/locate/physa

Detection of community structures in networks via global optimization[☆]

A. Medus, G. Acuña, C.O. Dorso*

*Departamento de Física-Facultad de Ciencias Exactas y Naturales, Universidad de Buenos Aires,
Pabellón 1 Ciudad Universitaria, 1428 Buenos Aires, Argentina*

Received 12 November 2004
Available online 2 June 2005

PHYSICAL REVIEW E 79, 066111 (2009)

Alternative approach to community detection in networks

A. D. Medus* and C. O. Dorso[†]

*Departamento de Física, Facultad de Ciencias Exactas y Naturales, Universidad de Buenos Aires, Pabellón 1, Ciudad Universitaria,
Ciudad Autónoma de Buenos Aires 1428, Argentina*

(Received 28 July 2008; revised manuscript received 21 May 2009; published 23 June 2009)



COMMUNITY DETECTION IN NETWORKS

C. O. DORSO* and A. D. MEDUS

*Departamento de Física, Facultad de Ciencias Exactas y Naturales,
Universidad de Buenos Aires, Pabellón 1, Ciudad Universitaria,
Ciudad Autónoma de Buenos Aires (1428), Argentina*

**codorso@df.uba.ar*

Received November 29, 2008; Revised March 30, 2009

[Home](#) / [Journal of Statistical Mechanics: Theory and Experiment](#), Volume 2014, Number 9

Memory effects induce structure in social networks with activity-driven agents

Authors: Medus, A D; Dorso, C O

Source: [Journal of Statistical Mechanics: Theory and Experiment](#), Volume 2014, Number 9, September 2014, pp.P09009

+2